

УДК 538.417

## САМОВОЗДЕЙСТВИЕ СВЕТОВЫХ ПУЧКОВ В КРИСТАЛЛАХ СИЛЛЕНИТОВ СРЕЗА (112)

© 2006 г. О. А. Кашин<sup>1</sup>, С. М. Шандаров<sup>1</sup>, С. Н. Курилкина<sup>2</sup>, П. И. Ропот<sup>2</sup>, А. Л. Толстик<sup>3</sup>

E-mail: kashin.oleg@mail.ru, tolstik@bsu.by

Рассмотрена теоретическая модель, позволяющая описать эффекты самовоздействия световых пучков с одномерным входным распределением интенсивности в фотопреломляющих кристаллах силленитов среза (112). Модель учитывает векторный характер светового поля, естественную оптическую активность кристалла, наведенное внешним электрическим полем линейное двупреломление и дополнительный вклад фотоупругого эффекта в возмущения оптических свойств полем пространственного заряда.

Благодаря хорошим фотопреломляющим свойствами для изучения видимого диапазона, кристаллы  $\text{Bi}_{12}\text{TiO}_{20}$  ( $BTO$ ) и  $\text{Bi}_{12}\text{SiO}_{20}$  ( $BSO$ ) из семейства силленитов являются достаточно популярными нелинейными средами для изучения и реализации различных эффектов самовоздействия световых пучков (см., например, [1–8]). При выборе направлений распространения светового пучка и приложения внешнего электрического поля, используемого для увеличения нелинейного отклика, необходимо учитывать анизотропию электрооптических свойств силленитов, относящихся в классу симметрии 23 кубической сингонии. Традиционно распространение светового пучка происходит вдоль кристаллографических направлений вида  $\langle 110 \rangle$  с приложением внешнего поля по осям типа  $\langle 001 \rangle$  [1–5],  $\langle 111 \rangle$  [6, 7] или  $\langle \bar{1}10 \rangle$  [3, 6, 7]. В [5–7] представлены уравнения, описывающие эффекты самовоздействия при произвольной ориентации приложенного поля в плоскости, ортогональной направлению распространения света  $\langle 110 \rangle$ . Отметим, что в [7] учтена и анизотропия дополнительного фотоупругого вклада в модуляцию оптических свойств среды полем пространственного заряда, наводимого световым пучком.

Однако рассмотренные варианты ориентации кристаллов силленитов не единственные для реализации эффектов самовоздействия света. В настоящей работе получены уравнения, позволяющие анализировать самовоздействие световых пучков с одномерным входным распределением интенсивности, при распространении вдоль кристаллографической оси  $[1\bar{1}2]$  кристаллов симметрии 23. Ориентация внешнего электрического по-

ля считается произвольной в плоскости, ортогональной данному направлению. Рассматриваемая модель учитывает естественную оптическую активность, наведенное внешним полем линейное двупреломление и дополнительный вклад фотоупругого эффекта в модуляцию оптических свойств кристалла полем пространственного заряда. Достоинство срезов типа {112} кубических фотопреломляющих кристаллов – это возможность реализации встречного взаимодействия световых пучков на отражательных голографических решетках [9], которое отсутствует в образцах традиционной ориентации типа {110}.

Рассмотрим кристалл симметрии 23, в котором вдоль оси  $z$ , совпадающей с кристаллографическим направлением  $[1\bar{1}2]$ , распространяется световой пучок с распределением интенсивности  $I(x)$  на входной грани (рис. 1). Внешнее электрическое поле, знакопеременное или постоянное, приложено вдоль оси  $x$ , составляющей угол  $\theta$  с кристаллографическим направлением  $[1\bar{1}0]$ . Компоненты диэлектрического тензора с учетом внешнего однородного поля  $E_0$  и наведенного световым пучком поля пространственного заряда  $E_{SC}(x, z)$  представим в виде [7]

$$\varepsilon_{ij} = n_0^2 \delta_{ij} - n_0^4 r_{41}^T |\delta_{ijk}| m_k E_0 - n_0^4 r_{41}^S \Delta b_{ij} E_{SC}, \quad (1)$$

$$\Delta b_{ij} = \left[ |\delta_{ijk}| m_k + \frac{1}{r_{41}^S} (P_{ijkl}^F m_l \gamma_{kn} e_{mnp} m_m m_p) \right], \quad (2)$$

где  $n_0$  – показатель преломления невозмущенного кристалла;  $\delta_{ij}$  и  $\delta_{ijk}$  – единичные симметричный и антисимметричный тензоры;  $r_{41}^T$  и  $r_{41}^S$  – электрооптические коэффициенты механически зажатого и свободного кристаллов соответственно;  $P_{ijkl}^E$  – компоненты фотоупругого тензора;  $\gamma_{kn}$  – компо-

<sup>1</sup> Томский государственный университет систем управления и радиоэлектроники.

<sup>2</sup> Институт физики им. Б.И. Степановка Национальной академии наук Беларусь, Минск.

<sup>3</sup> Белорусский государственный университет, Минск.

ненты тензора, обратного к  $\Gamma_{nk} = C_{nmkl}^E m_m m_l$ ;  $C_{nmkl}^E$  – компоненты тензоров модулей упругости и пьезоэлектрических констант,  $m_k$  – направляющие косинусы оси  $x$  кристаллографических координатах.

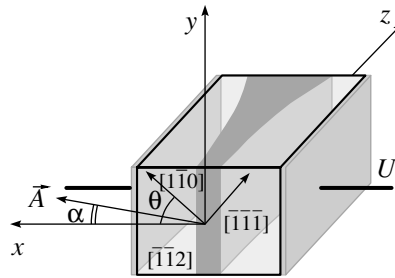
Распространение светового пучка в кубическом фотопреректическом кристалле, обладающем оптической активностью с удельным вращением  $\rho$ , может быть описано в параксиальном приближении уравнениями, аналогичными полученным в [7], для составляющих векторной огибающей поля  $\vec{A}(x, z)$ :

$$\left\{ \begin{array}{l} i \frac{\partial A_x}{\partial z} + \frac{1}{2k_0 n_0} \frac{\partial^2 A_x}{\partial x^2} - \frac{k_0 n_0^3}{2} r_{41}^T E_0 (\mu_1 A_x + \mu_2 A_y) - \\ - \frac{k_0 n_0^3}{2} E_{SC} (\eta_1 A_x + \eta_2 A_y) - i \rho A_y = 0, \\ i \frac{\partial A_y}{\partial z} + \frac{1}{2k_0 n_0} \frac{\partial^2 A_y}{\partial x^2} - \frac{k_0 n_0^3}{2} r_{41}^T E_0 (\mu_2 A_x + \mu_3 A_y) - \\ - \frac{k_0 n_0^3}{2} E_{SC} (\eta_2 A_x + \eta_3 A_y) + i \rho A_x = 0, \end{array} \right. \quad (3)$$

где  $k_0 = 2\pi/\lambda$  и  $\lambda$  – длина волны света. Для рассматриваемой ориентации кристалла входящие в систему уравнений (3) коэффициенты  $\mu_i$  и  $\eta_i$  принимают вид

$$\begin{aligned} \mu_1 &= -\frac{\sin \theta}{\sqrt{3}} (5 \cos^2 \theta - 2), \\ \mu_2 &= -\frac{\cos \theta}{\sqrt{3}} (5 \sin^2 \theta - 1), \\ \mu_3 &= \frac{\sin \theta}{\sqrt{3}} (5 \cos^2 \theta - 1), \end{aligned} \quad (4)$$

$$\begin{aligned} \eta_1 &= \frac{\sin^2 \theta}{3} [\Delta b_{11} + \Delta b_{22} + \Delta b_{33} + \\ &+ 2(\Delta b_{12} + \Delta b_{13} + \Delta b_{23})] + \\ &+ \frac{\cos^2 \theta}{2} (\Delta b_{11} + \Delta b_{22} - 2\Delta b_{12}) + \\ &+ \frac{\sin 2\theta}{\sqrt{6}} (\Delta b_{11} - \Delta b_{22} + \Delta b_{13} - \Delta b_{23}), \\ \eta_2 &= \frac{\sin 2\theta}{12} [\Delta b_{11} + \Delta b_{22} - 2\Delta b_{33} - \\ &- 10\Delta b_{12} - 4(\Delta b_{13} + \Delta b_{23})] - \\ &- \frac{\cos 2\theta}{\sqrt{6}} (\Delta b_{11} - \Delta b_{22} + \Delta b_{13} - \Delta b_{23}), \end{aligned} \quad (5)$$

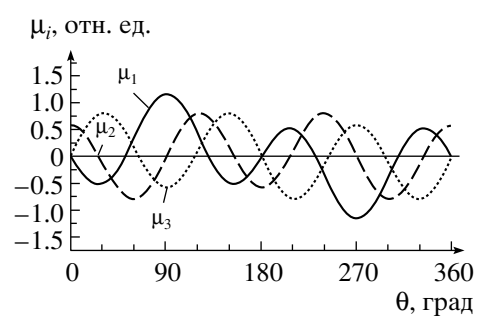


**Рис. 1.** Ориентация фотопреректического кристалла в условиях внешнего приложенного постоянного электрического поля  $U$ , в котором распространяется световой пучок с распределением интенсивности  $I(x)$  на входной грани.

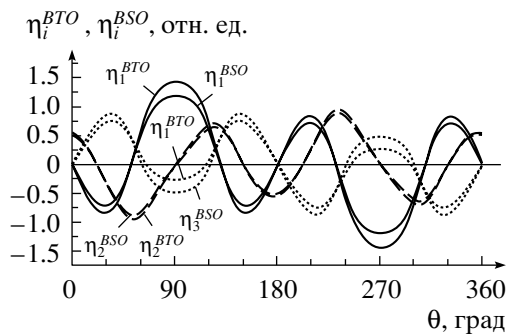
$$\begin{aligned} \eta_3 &= \frac{\sin^2 \theta}{2} (\Delta b_{11} + \Delta b_{22} - 2\Delta b_{12}) + \\ &+ \frac{\cos^2 \theta}{2} (\Delta b_{11} + \Delta b_{22} + \Delta b_{33}) + \\ &+ 2(\Delta b_{12} + \Delta b_{13} + \Delta b_{23})] - \\ &- \frac{\sin 2\theta}{\sqrt{6}} (\Delta b_{11} - \Delta b_{22} + \Delta b_{13} - \Delta b_{23}). \end{aligned}$$

Третий член в уравнениях (3) определяет линейное двупреломление, наводимое в кристалле внешним электрическим полем. Величина данного члена определяется коэффициентами  $\mu_1$ ,  $\mu_2$  и  $\mu_3$ , зависимости которых от ориентационного угла  $\theta$  представлены на рис. 2. Данные коэффициенты не зависят от типа кубического фотопреректического кристалла в отличие от коэффициентов  $\eta_1$ ,  $\eta_2$  и  $\eta_3$ , определяющих величину и знак фотопреректической нелинейности (четвертый член в уравнениях (3)). Ориентационные зависимости этих коэффициентов, рассчитанные с использованием материальных констант, приведенных в [10, 11], представлены на рис. 3 для кристаллов *BTO* и *BSO*.

Из сравнения рис. 2 и 3 можно заметить, что ориентационные зависимости  $\eta_i(\theta)$  и  $\mu_i(\theta)$ , имею-



**Рис. 2.** Зависимости коэффициентов  $\mu_1$ ,  $\mu_2$ ,  $\mu_3$  от ориентационного угла  $\theta$ .



**Рис. 3.** Зависимости коэффициентов  $\eta_1$ ,  $\eta_2$ ,  $\eta_3$  от ориентационного угла  $\theta$  в кристаллах титаната ( $BTO$ ) и силиката ( $BSO$ ) висмута.

щие одинаковый характер, количественно в наибольшей степени различаются вблизи экстремумов. Эти различия связаны с дополнительным вкладом, обусловленным совместным действием пьезоэлектрического и фотоупругого эффектов в возмущения оптических свойств кристалла полем пространственного заряда  $E_{SC}$  [10, 11], наводимым в данном случае световым пучком. Наилучшие условия для реализации эффектов самовоздействия достигаются при внешнем поле, приложенном вдоль направления  $\langle 111 \rangle$ , при  $\theta = 90^\circ$  и ориентации вектора поляризации света вдоль того же направления ( $\alpha = 0$ , см. рис. 1). В этом случае коэффициенты  $\mu_1$  и  $\eta_1$ , определяющие наведенное двулучепреломление и нелинейное самовоздействие для  $x$ -поляризации, достигают максимальных значений, таких же, как и для кристаллов традиционной ориентации типа  $\{110\}$ . Следует отметить, что в кристалле  $BTO$  больший дополнительный фотоупругий вклад приводит к большим значениям коэффициента  $|\eta_1| = 1.436$ , чем в  $BSO$  ( $|\eta_1| = 1.183$ ) при ориентации внешнего поля вдоль осей типа  $\langle 111 \rangle$ . Однако коэффициент  $\eta_3$ , характеризующий нелинейное самовоздействие за счет  $y$ -составляющей вектора поляризации, имеет большую абсолютную величину для кристалла  $BSO$  ( $\eta_3^{BSO} = -0.48$ ,  $\eta_3^{BTO} = -0.261$ ), при  $\theta = 90^\circ$ .

При значении ориентационного угла  $\theta = 0^\circ$  ( $\vec{E}_0 \parallel [1\bar{1}0]$ ), как и в образцах традиционной ориентации, от нуля отличны только коэффициенты  $\mu_2$  и  $\eta_2$ , отвечающие за кросс-связь между  $x$ - и  $y$ -составляющими вектора  $\vec{A}$ . Однако в рассматриваемом случае их значения  $\mu_2 = 0.577$ ,  $\eta_2^{BTO} = 0.533$  и  $\eta_2^{BSO} = 0.657$  существенно ниже по модулю ( $\mu_2 = -1$ ,  $\eta_2^{BTO} = -0.923$  и  $\eta_2^{BSO} = -1.137$ ), чем для среза  $\{110\}$  при том же направлении приложенного поля.

Численный анализ распространения светового пучка ( $\lambda = 633$  нм) с входным распределением амплитуды в виде функции Гаусса (радиус перетяжки  $x_0 = 25$  мкм) проводили с использованием уравнений (2)–(5) на основе конечно-разностной схемы Дугласа [12]. В расчетах параметры кристалла  $BTO$  (размер вдоль оси  $z$   $d = 15$  мм,  $\rho = 6$  угл. град ·  $\text{мм}^{-1}$ ) принимались такими же, как и в [6].

Анализ показывает, что дополнительный фотоупругий вклад существенно уменьшает величину необходимого для реализации квазисолитонного режима распространения пучка внешнего поля, в случае его приложения вдоль направлений вида  $\langle 111 \rangle$ . В [6], рассматривающей распространение пучка в кристалле среза  $\{110\}$  без учета фотоупругого вклада, получено значение необходимой напряженности поля  $E_0 \approx 4.1 \text{ кВ} \cdot \text{см}^{-1}$ . Учет фотоупругого вклада “снижает” данное напряжение до значения  $3.4 \text{ кВ} \cdot \text{см}^{-1}$ , одинакового для срезов вида  $\{110\}$  и  $\{112\}$ .

В случае приложения поля вдоль кристаллографического направления  $[1\bar{1}0]$  разница в коэффициентах  $\mu_2$ ,  $\eta_2$  для срезов вида  $\{110\}$  и  $\{112\}$  существенно влияет на условия наблюдения солитоноподобного распространения лазерного пучка. Для каждого из этих срезов при данном направлении поля экранирующая нелинейность достигает максимума при ориентации вектора поляризации под углом  $\alpha = \pm 45^\circ$  к оси  $x$  [7]. Расчеты показывают, что солитоноподобное распространение пучка с такой входной поляризацией и с параметрами, приведенными выше, должно наблюдаться в кристалле  $BTO$  среза  $\{11\bar{2}\}$  при напряженности поля  $E_0 \approx 8.8 \text{ кВ} \cdot \text{см}^{-1}$ , в то время как для среза  $\{110\}$  оно реализуется при  $E_0 \approx 5.1 \text{ кВ} \cdot \text{см}^{-1}$ .

Таким образом, в данной работе развита теоретическая модель самовоздействия одномерных световых пучков в кристаллах силленитов среза  $\{11\bar{2}\}$ , учитывающая векторный характер светового поля, гиротропию среды, наведенное внешним полем линейное двулучепреломление и дополнительный фотоупругий вклад в модуляцию оптических свойств полем пространственного заряда. Показано, что в случае приложения внешнего поля вдоль оси типа  $\langle 111 \rangle$  величина и характер эффектов самовоздействия не отличаются от реализуемых в кристаллах традиционного среза типа  $\{110\}$ . Достоинство использования кристаллов среза  $\{11\bar{2}\}$  – это возможность встречного взаимодействия распространяющихся световых пучков на формируемыми ими отражательных фоторефрактивных голограммах.

Работа выполнена при поддержке РФФИ и БРФФИ (грант № 06-02-81040-Бел\_а) и программы “Развитие научного потенциала высшей школы (2006–2008 годы)”.

## СПИСОК ЛИТЕРАТУРЫ

1. *Itutube-Castillo M.D., Marquez-Aguilar P.A., Sanchez-Mondragon J.J. et al.* // Appl. Phys. Lett. 1994. V. 64. P. 408.
2. *Singh S.R., Christodoulides D.N.* // J. Opt. Soc. Am. B. 1996. V. 13. P. 719.
3. *Fazio E., Babin V., Bertolotti M., Vlad V.* // Phys. Rev. E. 2002. V. 66. 016605.
4. *Fazio E., Ramadan W., Belardini A. et al.* // Phys. Rev. E. 2003. V. 67. 026611.
5. *Шепелевич В.В., Голуб А.А., Коваршик Р. и др.* // Квант. электроника. 2005. Т. 35. С. 351.
6. *Шепелевич В.В., Коваршик Р., Кисслинг А. и др.* // Квант. электроника. 2003. Т. 33. С. 446.
7. *Каинин О.А., Шандаров С.М., Фролова М.Н. и др.* // Изв. вузов. Физика. 2004. № 7. С. 26.
8. *Каинин О.А., Лапоухов А.С., Колегов А.А. и др.* // Изв. РАН. Сер. физ. 2005. Т. 69. № 8. С. 1142.
9. *Плесовских А.М., Шандаров С.М., Мартынов А.Г. и др.* // Квант. электроника. 2005. Т. 35. С. 163.
10. *Кобозев О.В., Шандаров С.М., Литвинов Р.В. и др.* // Неорганическая химия. 1998. Т. 34. С. 1486.
11. *Степанов С.И., Шандаров С.М., Хатыков Н.Д.* // Физика твердого тела. 1987. Т. 29. С. 3054.
12. *Sun L., Yip G.L.* // Opt. Lett. 1993. V. 18. P. 1229.